

# 第3章 微波集成传输线

## 3.1 微带传输线

## 3.2 介质波导

## 3.3 光纤



# 3. 2介质波导Dielectric Waveguide

## 一、介质圆波导

◆1.采用圆柱坐标系

◆2.圆柱介质波导属于**开放**系统  
(Open Waveguide System), **全**  
**空间**(full space)求解。

⊕①采用  $i = \begin{cases} 1 \\ 2 \end{cases}$  代表介质波导外场

⊕②z分量满足

$$\nabla^2 \begin{pmatrix} E_{zi} \\ H_{zi} \end{pmatrix} + k_i^2 \begin{pmatrix} E_{zi} \\ H_{zi} \end{pmatrix} = 0$$

⊕③也可写成

$$\nabla^2 \begin{pmatrix} E_{zi} \\ H_{zi} \end{pmatrix} + n_i^2 k_0^2 \begin{pmatrix} E_{zi} \\ H_{zi} \end{pmatrix} = 0$$

$$\begin{cases} n_i^2 = \epsilon_{ri} \\ k_i^2 = k_0^2 n_i^2 = \omega^2 \epsilon_0 \mu_0 \epsilon_{ri} \\ k_0^2 = \omega^2 \epsilon_0 \mu_0 \end{cases}$$

⊕④只考虑波导系统入射波  $\nabla^2 = \nabla_t^2 + \frac{\partial^2}{\partial z^2} = \nabla_t^2 - \beta^2$

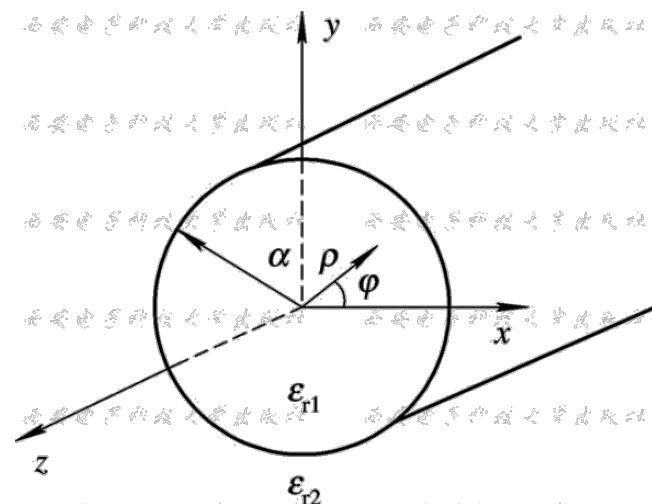


图3-10 介质圆波导

### 3. 2介质波导Dielectric Waveguide

#### 一、介质圆波导

⊕⑤有 
$$\nabla_t^2 \begin{pmatrix} E_{zi} \\ H_{zi} \end{pmatrix} + (k_0^2 n_i^2 - \beta^2) \begin{pmatrix} E_{zi} \\ H_{zi} \end{pmatrix} = 0$$

⊕⑥在圆柱坐标系有

$$\frac{\partial^2}{\partial \rho^2} \begin{pmatrix} E_{zi} \\ H_{zi} \end{pmatrix} + \frac{1}{\rho} \frac{\partial}{\partial \rho} \begin{pmatrix} E_{zi} \\ H_{zi} \end{pmatrix} + \frac{1}{\rho^2} \frac{\partial^2}{\partial \varphi^2} \begin{pmatrix} E_{zi} \\ H_{zi} \end{pmatrix} + (n_i^2 k_0^2 - \beta^2) \begin{pmatrix} E_{zi} \\ H_{zi} \end{pmatrix} = 0$$

⊕⑦采用分离变量法，忽略因子 $\mathbf{e}^{-j\beta z}$

$$k_{ci}^2 = k_0^2 n_i^2 - \beta^2 = k_0^2 \epsilon_{ri} - \beta^2$$

$$\begin{pmatrix} E_{zi} \\ H_{zi} \end{pmatrix} = \begin{pmatrix} A_i \\ B_i \end{pmatrix} R(\rho) \Phi(\varphi)$$

⊕⑧两个常微分方程

$$\begin{cases} \frac{d^2 \Phi(\varphi)}{d\varphi^2} + m^2 \Phi(\varphi) = 0 \\ \rho^2 \frac{d^2 R(\rho)}{d\rho^2} + \rho \frac{dR(\rho)}{d\rho} + [(n_i^2 k_0^2 - \beta^2) \rho^2 - m^2] R(\rho) = 0 \end{cases}$$

# 3. 2介质波导Dielectric Waveguide

## 二、介质波导约束条件

◆1.  $\Phi$ 方向周期条件  $\Phi(0) = \Phi(2\pi)$

$$\Phi(\varphi) = C \begin{pmatrix} \cos m\varphi \\ \sin m\varphi \end{pmatrix} = Ce^{jm\varphi}$$

◆2.  $r=0$ 的边界条件 $R(0) \neq \infty$

⊕Region1

$$k_{c1}^2 = k_0^2 n_1^2 - \beta^2 = k_1^2 - \beta^2 > 0$$

$$R_1(\rho) = \begin{pmatrix} J_m(k_{c1} \rho) \\ N_m(k_{c1} \rho) \end{pmatrix}$$

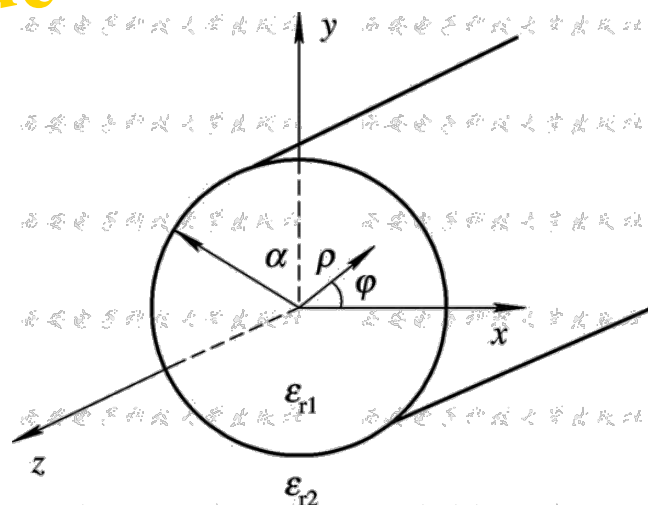


图3-10 介质圆波导

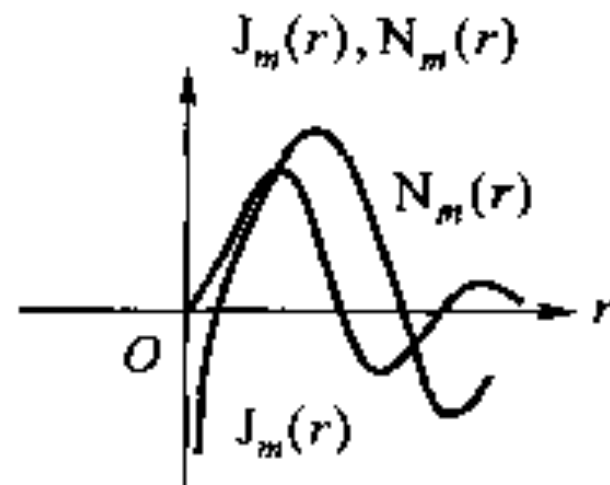


图 Bessel函数

# 3. 2介质波导Dielectric Waveguide

## 二、介质波导约束条件

◆ 3.  $r=\infty$  的边界条件  $R(\infty) \neq \infty$

⊕ Region 2

$$k_{c2}^2 = k_0^2 n_2^2 - \beta^2 = k_2^2 - \beta^2 < 0$$

$$\rho^2 \frac{d^2 R(\rho)}{d \rho^2} + \rho \frac{dR(\rho)}{d \rho} + \left[ \left( j \sqrt{\beta^2 - k_0^2 n_2^2} \right)^2 \rho^2 - m^2 \right] R(\rho) = 0$$

$$R_2(\rho) = \begin{pmatrix} \cancel{I_m(k_{c2} \rho)} \\ K_m(k_{c2} \rho) \end{pmatrix}$$

⊕ 所以

$$\begin{cases} R_1(\rho) = D_1 J_m(k_{c1} \rho) & (\rho < a) \\ R_2(\rho) = D_2 K_m(k_{c2} \rho) & (\rho > a) \end{cases}$$

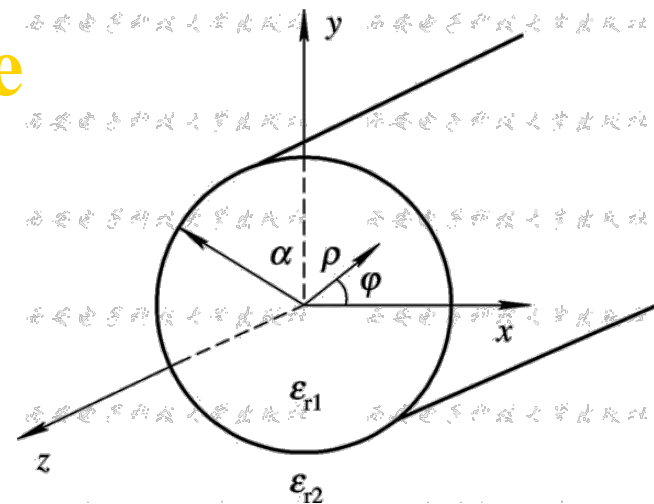


图3-10 介质圆波导

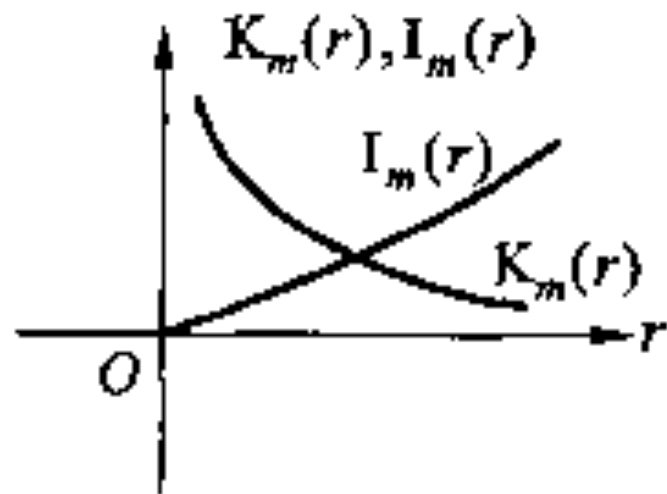


图 修正Bessel函数

# 3. 2介质波导Dielectric Waveguide

## 二、介质波导约束条件

### ◆4. $r=a$ 的边界处

$$\begin{cases} R_1(a) = D_1 J_m(k_{c1}a) = D_1 J_m(u) \\ R_2(a) = D_2 K_m(k_{c2}a) = D_2 K_m(w) \end{cases}$$

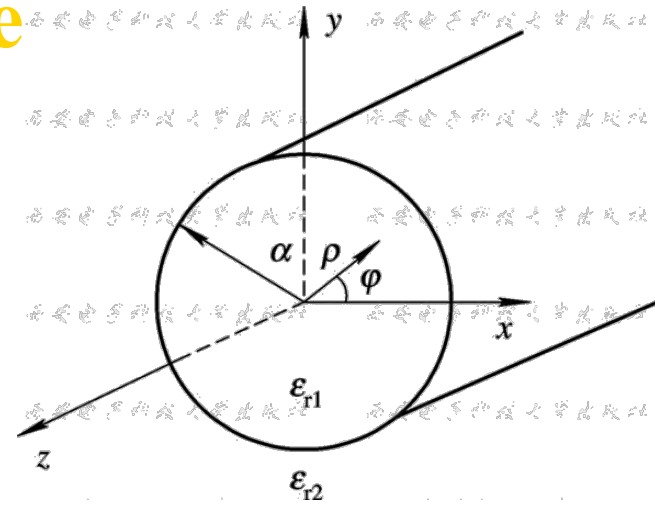


图3-10 介质圆波导

⊕有

$$\begin{cases} D_1 = \frac{R_1(a)}{J_m(u)} \\ D_2 = \frac{R_2(a)}{K_m(w)} \end{cases} \quad \begin{cases} u = k_{c1}a = (k_0^2 n_1^2 - \beta^2)^{1/2} a \\ w = k_{c2}a = (\beta^2 - k_0^2 n_2^2)^{1/2} a \end{cases}$$

⊕所以

$$\begin{cases} R_1(\rho) = \frac{R_1(a)}{J_m(u)} J_m(uR) & R = \frac{\rho}{a} < 1 \\ R_2(\rho) = \frac{R_2(a)}{K_m(w)} K_m(wR) & R = \frac{\rho}{a} > 1 \end{cases}$$

## 3. 2介质波导Dielectric Waveguide

### 三、介质波导的横向场分量

◆介质波导纵向分量为

$$E(z) = \begin{cases} \frac{A_{m1}}{J_m(u)} J_m(uR) e^{jm\varphi} e^{-j\beta z} & R < 1 \\ \frac{A_{m2}}{K_m(w)} K_m(wR) e^{jm\varphi} e^{-j\beta z} & R > 1 \end{cases}$$

$$H(z) = \begin{cases} \frac{B_{m1}}{J_m(u)} J_m(uR) e^{jm\varphi} e^{-j\beta z} & R < 1 \\ \frac{B_{m2}}{K_m(w)} K_m(wR) e^{jm\varphi} e^{-j\beta z} & R > 1 \end{cases}$$

## 3. 2介质波导Dielectric Waveguide

### 三、介质波导的横向场分量

◆ 横向分量采用纵向分量表示的不变性矩阵

$$\begin{bmatrix} E_\rho \\ E_\varphi \\ H_\rho \\ H_\varphi \end{bmatrix} = \frac{1}{k_c^2} \begin{bmatrix} -\gamma & 0 & 0 & -j\omega\mu \\ 0 & -\gamma & -j\omega\mu & 0 \\ 0 & -j\omega\varepsilon & -\gamma & 0 \\ -j\omega\varepsilon & 0 & 0 & -\gamma \end{bmatrix} \begin{bmatrix} \frac{\partial E_z}{\partial \rho} \\ \frac{1}{\rho} \frac{\partial E_z}{\partial \varphi} \\ \frac{\partial H_z}{\partial \rho} \\ \frac{1}{\rho} \frac{\partial H_z}{\partial \varphi} \end{bmatrix}$$



## 3. 2介质波导Dielectric Waveguide

### 三、介质波导的横向场分量

◆ 横向分量采用纵向分量表示的不变性矩阵

$$\left\{ \begin{array}{l} E_{\rho} = -\frac{j}{k_{ci}^2} \left[ \beta \frac{\partial E_z}{\partial \rho} + j \omega \mu_0 \frac{m}{\rho} H_z \right] \\ E_{\varphi} = -\frac{j}{k_{ci}^2} \left[ \frac{j m \beta}{\rho} E_z - \omega \mu_0 \frac{\partial H_z}{\partial \rho} \right] \\ H_{\rho} = -\frac{j}{k_{ci}^2} \left[ \beta \frac{\partial H_z}{\partial \rho} - j \omega \varepsilon_i \frac{m}{\rho} E_z \right] \\ H_{\varphi} = -\frac{j}{k_{ci}^2} \left[ \frac{j m \beta}{\rho} H_z + \omega \varepsilon_i \frac{\partial E_z}{\partial \rho} \right] \end{array} \right.$$

### 3. 2介质波导Dielectric Waveguide

#### 四、 $r=a$ 的边界条件介质波导的横向场分量

◆  $r=a$ 处切向场连续

$$\begin{cases} E_{z1} = E_{z2} \\ H_{z1} = H_{z2} \\ E_{\varphi1} = E_{\varphi2} \\ H_{\varphi1} = H_{\varphi2} \end{cases}$$

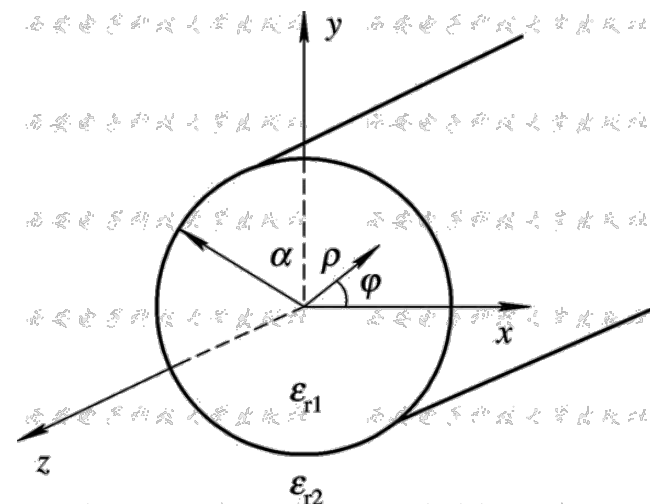


图3-10 介质圆波导

◆ 得到特征方程

$$\left[ \frac{X}{u} - \frac{Y}{\omega} \right] \left[ \frac{\varepsilon_r X}{u} - \frac{Y}{\omega} \right] = m^2 \left[ \frac{1}{u^2} - \frac{1}{\omega^2} \right] \left[ \frac{\varepsilon_r}{u^2} - \frac{1}{\omega^2} \right] \quad (3-2-5a)$$

$$u^2 - \omega^2 = k_0^2 (\varepsilon_r - 1) a^2$$

⊕ 其中

$$X = \frac{J'_m(u)}{J_m(u)}, \quad Y = \frac{H^{(2)'}_m(\omega)}{H^{(2)}_m(\omega)}$$

# 3. 2介质波导Dielectric Waveguide

## 五、介质波导波形

**Case1: m=0的情况**

$$\frac{1}{u} \frac{J_0'(u)}{J_0(u)} - \frac{1}{\omega} \frac{H_0^{(2)'}(\omega)}{H_0^{(2)}(\omega)} = 0$$

对应TE<sub>0n</sub>模  $H_z, E_\varphi, H_r$

或者

$$\frac{\varepsilon_r}{u} \frac{J_0'(u)}{J_0(u)} - \frac{1}{\omega} \frac{H_0^{(2)'}(\omega)}{H_0^{(2)}(\omega)} = 0$$

对应TM<sub>0n</sub>模  $E_z, E_r, H_\varphi$

◆ 介质波导传输条件

$$\begin{cases} k_{c1}^2 = k_0^2 n_1^2 - \beta^2 > 0 \\ k_{c2}^2 = \beta^2 - k_0^2 n_2^2 > 0 \\ k_0^2 = \omega^2 \varepsilon_0 \mu_0 \end{cases}$$

⊕ 金属波导中  $0 \leq \beta \leq k_1$

截止条件  $k_{c1} = 0$

⊕ 介质波导中  $k_2 \leq \beta \leq k_1$

截止条件  $k_{c2} = 0$

# 3. 2介质波导Dielectric Waveguide

## 五、介质波导波形

**Case1: m=0的情况**

◆ 因此有  $J_0(u)=0$

◆ 可见圆形介质波导的  $\text{TE}_{0n}$  和  $\text{TM}_{0n}$  模在截止时是简并的, 它们的截止频率均为

$$f_{c0n} = \frac{v_{0n}c}{2\pi a\sqrt{\epsilon_r - 1}}$$

⊕ 式中,  $v_{0n}$  是零阶贝塞尔函数  $J_0(x)$  的第  $n$  个根

⊕ 特别地,  $n=1$  时

$$v_{01} = 2.45, f_{c01} = \frac{2.405c}{2\pi a\sqrt{\epsilon_r - 1}}$$

**Case2: m≠0任意情况**

◆  $E_z$  和  $H_z$  同时存在, 存在 混和模式

## 3. 2介质波导Dielectric Waveguide

### 五、介质波导波形

**Case3: m=1的情况**

◆截止频率为

$$f_{c1n} = \frac{v_{1n}c}{2\pi a\sqrt{\epsilon_r - 1}}$$

⊕式中,  $v_{1n}$  是一阶贝塞尔函数  $J_1(x)$  的第  $n$  个根

⊕特别地,  $n=1$  时,  $u_{11}=0$ ,  $f_{c11}=0$

⊕ $HE_{11}$  模没有截止频率, 该模式是圆形介质波导传输的主模

⊕第一个高次模为  $TE_{01}$  或  $TM_{01}$  模

⊕当工作频率  $f < f_{c01}$  时, 圆形介质波导内将实现单模传输。

# 3. 2介质波导Dielectric Waveguide

## 五、介质波导波形

◆ 介质波导的主模 $HE_{11}$ 模， $m=1, n=1$

⊕ ①不具有截止波长，而其它模只有当波导直径大于 $0.626\lambda$ 时，才有可能传输

⊕ ②在很宽的频带和较大的直径变化范围内， $HE_{11}$ 模的损耗较小

⊕ ③可以直接由矩形波导的主模 $TE_{10}$ 激励，而不需要波型变换

⊕ 图3-11 给出了 $HE_{11}$ 模的电磁场分布图

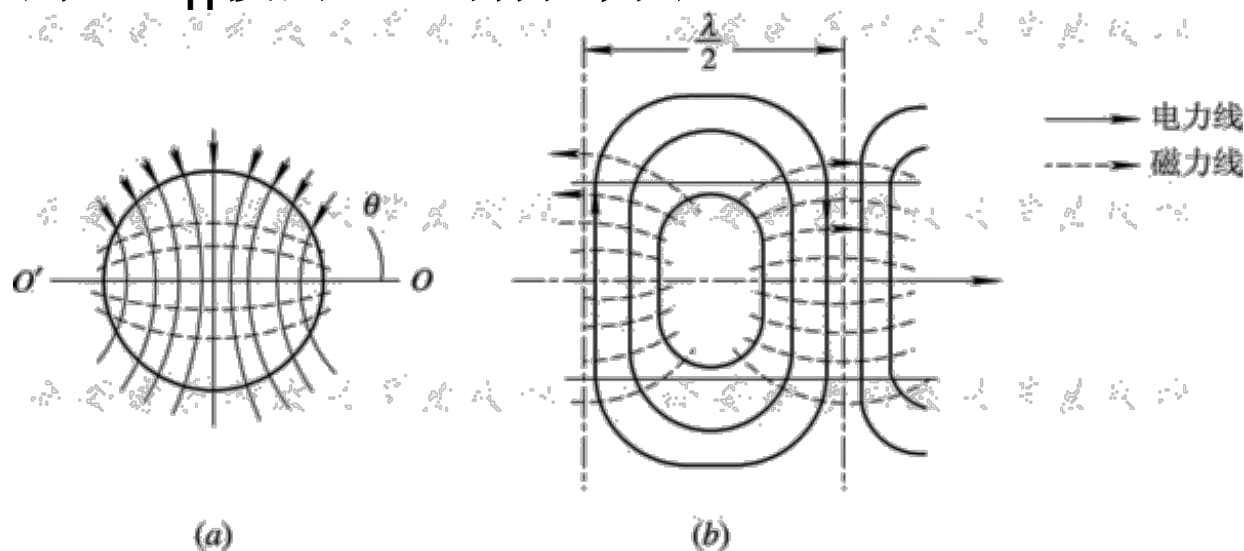


图3-11  $HE_{11}$ 模的电磁场分布图

# 3. 2介质波导Dielectric Waveguide

## 五、介质波导波形

◆ 介质波导的主模 $HE_{11}$ 模， $m=1, n=1$

⊕ 图3-12 给出了 $HE_{11}$ 模的色散曲线

⊕ 由图3-12 可见，介电常数越大，则色散越严重

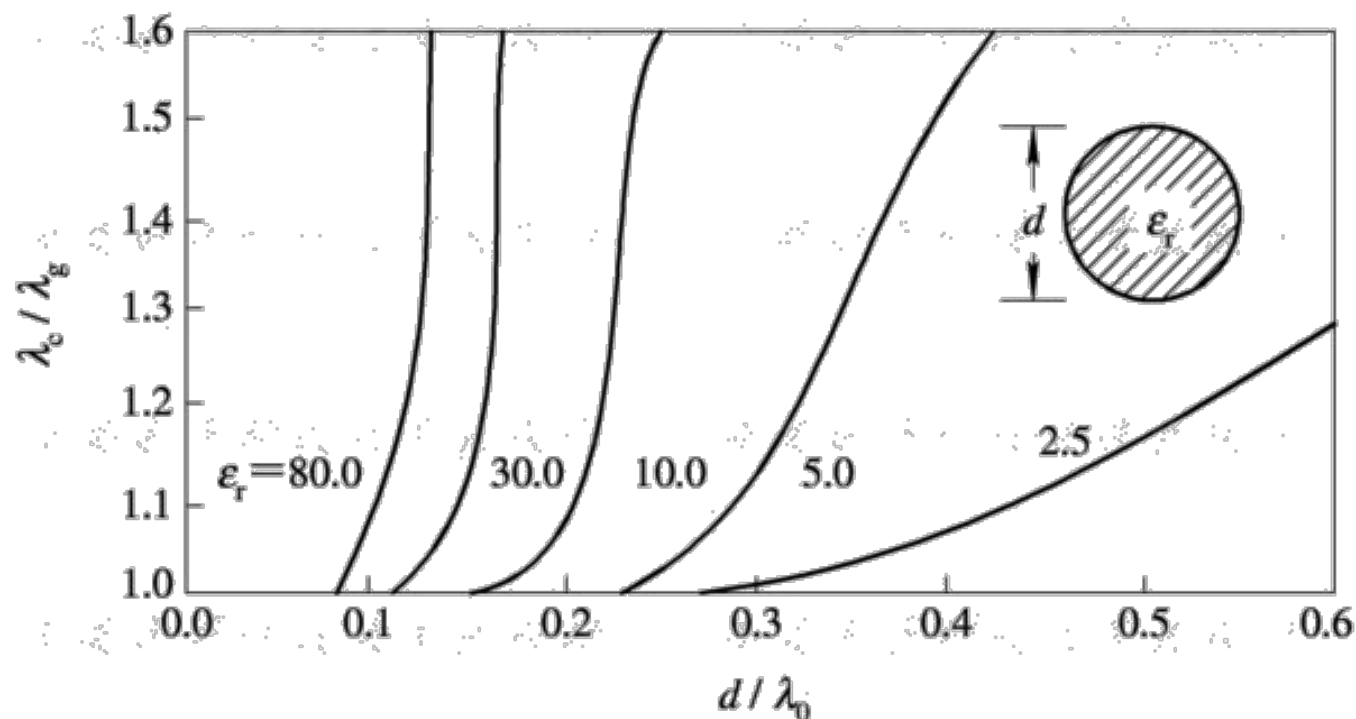


图3-12  $HE_{11}$ 模的色散曲线

# 3. 2介质波导Dielectric Waveguide

## 六、金属波导和介质波导之比较

### 金属圆柱波导

### 介质圆柱波导

封闭内区域求解

$$r \leq a$$

边界条件

- 旋转周期条件
- 0点有限条件
- $r = a$ 场连续条件

$$\begin{cases} E_{z1} = 0 \\ E_{\varphi1} = 0 \end{cases}$$

TE、TM 模式  
TE<sub>11</sub>是主模

$$\nabla^2 \begin{pmatrix} E_i \\ H_i \end{pmatrix} + k_i^2 \begin{pmatrix} E_i \\ H_i \end{pmatrix} = 0$$

全空间分区域求解

$$i=1,2, r < a, r > a$$

边界条件

- 旋转周期条件
- 0点有限条件
- $\infty$ 点有限条件
- 正常传输条件

$$k_{c1}^2 = k_1^2 - \beta^2 \geq 0$$

$$k_{c2}^2 = \beta^2 - k_2^2 \geq 0$$

- $r = a$ 场连续条件

$$E_{z1} = E_{z2}, H_{z1} = H_{z2}$$

$$E_{\varphi1} = E_{\varphi2}, H_{\varphi1} = H_{\varphi2}$$

TE<sub>01</sub>, TM<sub>0n</sub>  
混合模式EH<sub>mn</sub>, HE<sub>mn</sub>  
HE<sub>11</sub>是主模



# 3. 2介质波导Dielectric Waveguide

## 七、介质镜像线

- ◆对主模 $HE_{11}$ 来说, 由于圆形介质波导的 $OO'$ 平面两侧场分布具有对称性
- ◆可以在 $OO'$ 平面放置一金属导电板而不致影响其电磁场分布, 从而可以构成介质镜像线, 如图3-13(a)所示
- ◆圆形介质镜像线是由一根半圆形介质杆和一块接地的金属片组成的
- ◆解决了介质波导的屏蔽和支架的困难
- ◆在毫米波波段内, 这类传输线比较容易制造, 并且具有较低的损耗, 比金属波导远为优越。 [?]

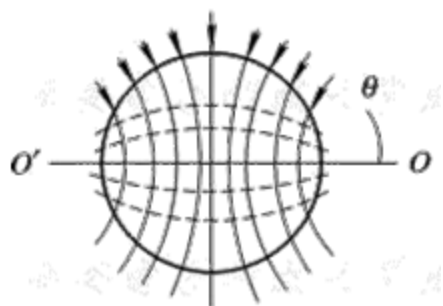


图3-11  $HE_{11}$ 模的电磁场分布图

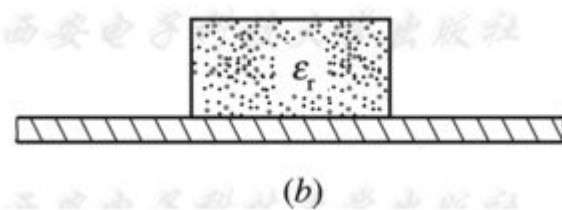
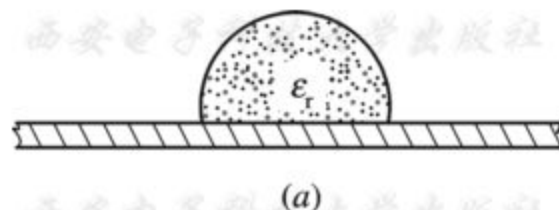


图3-13 圆形介质镜像线和矩形介质镜像线

## 3. 2介质波导Dielectric Waveguide

### 八、H形波导

◆H形波导由两块平行的金属板中间插入一块介质条带组成, 如图 3-14 所示。

◆与传统的金属波导相比, H形波导具有制作工艺简单、损耗小、功率容量大、激励方便等优点。

◆H形波导中传输的模式取决于介质条带的宽度和金属平板的间距。

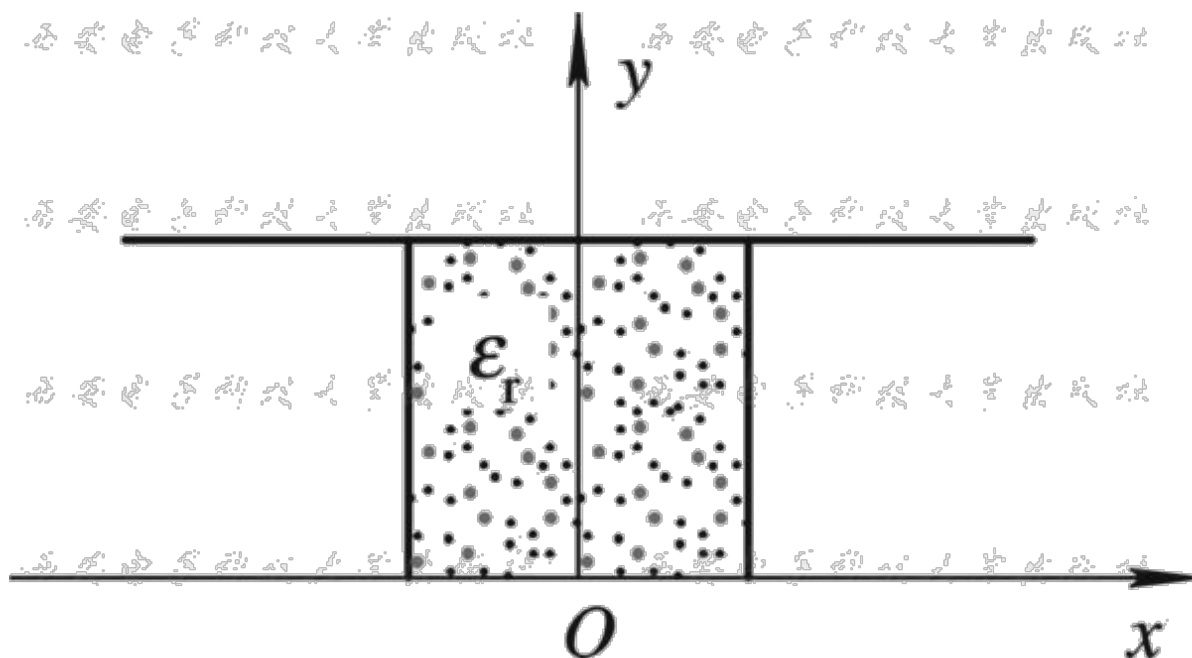


图3-14 H 形波导的结构

### 3. 2介质波导Dielectric Waveguide

